



کنترل تعقیب مسیر کوادروتورها در حضور موانع بر مبنای روش میدان پتانسیل

علی کیماسی خلجی*، ایمان سعادت

گروه مهندسی مکانیک، دانشکده فنی و مهندسی، دانشگاه خوارزمی، تهران، ایران

تاریخچه داوری:

دریافت: ۱۳۹۸/۰۷/۲۴

بازنگری: ۱۳۹۹/۰۱/۰۵

پذیرش: ۱۳۹۹/۰۱/۰۵

ارائه آنلاین: ۱۳۹۹/۰۲/۰۴

کلمات کلیدی:

کوادروتور

روش کنترلی پسگام

واحد اجتناب از موانع

توابع پتانسیل

کنترل تعقیب مسیر

خلاصه: در این مقاله، با معرفی یک کنترلر ترکیبی مقاوم به همراه یک واحد اجتناب از موانع مبتنی بر توابع پتانسیل به کنترل تعقیب مسیر کوادروتور در حضور موانع پرداخته شده است. کوادروتورها، سیستم‌هایی که عملگر بوده و طراحی کنترلر تعقیب مسیر مقاوم برای آن‌ها به یکی از پژوهش‌های مباحث در پژوهش‌های اخیر تبدیل شده است. در ابتدا مدل‌سازی دینامیکی کوادروتور با استفاده از روش نیوتون-اویلر و با در نظر گرفتن تمامی ترموماتی غیرخطی آن در نظر گرفته شده و در ادامه، فضای حالت سیستم به دست آمده است. سپس یک روش کنترلی با الهام از الگوریتم‌های کنترل خطی برای کنترل حلقه‌ی بیرونی طراحی شده و برای کنترل حلقه‌ی داخلی کنترلر، روش کنترلی پسگام ارائه شده است. ترکیب این دو روش کنترلی به نحوی صورت گرفته که سیستم بهترین عملکرد را در تعقیب مسیرهای دلخواه از نظر همگرایی به مسیر مرجع حرکت، خطای حالت ماندگار کمینه و دیگر مشخصات پاسخ گذاشته سیستم داشته باشد. در ادامه یک واحد اجتناب از موانع مبتنی بر توابع پتانسیل طراحی شده که با ایجاد نیروی دافعه بین سیستم و موانع از تصادم کوادروتور جلوگیری می‌کند. در انتها دو آزمایش ردبایی مسیر دایره‌ای و زینی شکل برای یک کوادروتور در حضور موانع در نظر گرفته شده است و نتایج حاصله، عملکرد مقاوم کنترلر را در تعقیب مسیرها و اجتناب از موانع نشان می‌دهد.

۱- مقدمه

و غذا با استفاده از بازوهای مکانیکی^۱ [۶, ۷] یا استفاده از کابل‌های انعطاف‌پذیر [۸] و با استفاده از گیره‌های مختلف [۹, ۱۰]، پرتاپ تیوپ نجات برای افراد در حال غرق شدن، جستجو و نجات انسان‌ها و رساندن کمک‌های اولیه به مصدومان در آتش‌سوزی جنگل‌ها، سیل‌ها، زلزله‌ها [۱۱, ۱۲]، در نقشه‌برداری [۱۳]، یافتن محل اختفای سارقان در تعقیب و گریز و همچنین در صنایع نظامی [۱۴] نیز استفاده می‌شود. کوادروتورها در اندازه‌های مختلف با توجه به نیاز کاربر طراحی و ساخته می‌شوند، کوادروتورهای بزرگ با ظرفیت حمل بار بیش از یک کیلوگرم [۱۵] و کوادروتورهای کوچک به منظور پرواز در فضاهای داخلی و آزمایشگاه‌ها استفاده می‌شوند [۱۶]. کوادروتورها می‌توانند بدون از دست دادن تعادل و پایداری خود، دیوار ساختمان‌ها

کوادروتورها، معروف‌ترین نوع پرنده‌های هدایت‌پذیر از دور (پهپاد) هستند که در مقایسه با پرنده‌های کلاسیکی مانند هلیکوپترها دارای مکانیزم ساده‌تری بوده ولی دارای پیچیدگی‌های بسیاری از لحاظ دینامیک سیستم و مدل‌سازی می‌باشد. امروزه طراحی کنترلرهای متنوع با توجه به نیازهای مختلف کاربر از این پرنده‌ها اهمیت ویژه‌ای در جهان یافته است. با پیشرفت علم و تکنولوژی، از کوادروتورها نه تنها در زمینه‌ی سرگرمی و فیلمبرداری [۱]، بلکه در بازرسی از امکانات صنعتی و تعمیر و نگهداری نیروگاه‌ها [۲, ۳]، جستجو در باستان‌شناسی [۴]، در سیستم‌های حمل و نقل پیشرفته‌ی شهرهای هوشمند از جمله مسافربری [۵] و حمل بسته‌های پستی

* نویسنده عهددار مکاتبات: keymasi@khu.ac.ir

1 Manipulators
2 Gripper

حقوق مؤلفین به نویسنده‌گان و حقوق ناشر به انتشارات دانشگاه امیرکبیر داده شده است. این مقاله تحت لیسانس آفرینندگی مردمی (Creative Commons License) در دسترس شما قرار گرفته است. برای جزئیات این لیسانس، از آدرس <https://www.creativecommons.org/licenses/by-nc/4.0/legalcode> دیدن فرمائید.



استفاده کردند. این روش تنها برای سیستم‌های خطی بهینه بوده و پایداری سیستم را تضمین می‌کند، با استفاده از خطی‌سازی ژاکوبی، می‌توان آن را به سیستم‌های غیرخطی نیز اعمال کرد؛ هرچند در این صورت کنترل کننده دیگر بهینه نیست. لیو و همکاران [۲۷] دو روش کنترلی ال کیو آر و پی آی را با یکدیگر مقایسه کرده و روش ال کیو آر نتایج بهتری ارائه داده است.

روش‌های کنترلی مذکور، همگی از مدل خطی‌سازی شده‌ی کوادراتور حول یک نقطه‌ی تعادل استفاده شده است و با روش‌های مرسوم کنترل‌رهای خطی به کنترل آن پرداختند که این نوع کنترل، نمی‌تواند پایداری سیستم کوادراتور را در تمام نقاط حرکتی آن تضمین کند. کوادراتورها، سیستم‌هایی با دینامیک غیرخطی بسیار حساسی هستند که در طی خطی‌سازی، از پیچیدگی‌های دینامیکی و نیروهای آیرودینامیکی آن صرف نظر می‌شود. برای این منظور، محققان روش‌های غیرخطی نوآورانه را برای کنترل کوادراتور ارائه دادند به طوری که علاوه بر افزایش دقت کنترل در همگرایی به مسیر مرجع حرکت کوادراتور، پایداری سیستم حلقه بسته تضمین شود. یک سری از روش‌های پایه‌ی کنترلی خطی و غیرخطی و مقایسه‌ی آن‌ها برای کنترل پهپادها از جمله کوادراتورها در مقاله‌ی [۲۸] به صورت مختصر ارائه شده است. کنترل توابع پی در پی اشباع^{۱۰} [۲۹]، کنترل تطبیقی^{۱۱} [۳۰] و کنترل پیش‌بین^{۱۲} [۳۱] از جمله روش‌هایی است که در کنترل کوادراتورها به کار برده می‌شود. ووس و همکاران [۳۲] از روش کنترلی بازخوردی خطی ساز^{۱۳} با در نظر گرفتن قسمت‌های غیرخطی سیستم برای کنترل یک کوادراتور کوچک بهره بردنند.

روش کنترلی پسگام^{۱۴} همچنین به صورت گسترده‌ای در کنترل بسیاری از سیستم‌های مهندسی به کار برده می‌شود. مزیت اصلی این روش، طراحی مرحله به مرحله به طریقی صورت می‌گیرد که به طور همزمان، پایداری جهانی سیستم حلقه بسته تضمین گردد، پانگ و همکاران [۳۳]، به توصیف انواع مختلف روش‌های پسگام پرداختند. از ویژگی‌های دیگر این روش، توانایی آن در ترکیب با روش‌های کنترلی دیگر به طرق مختلف است به گونه‌ای که دست طراح برای

را تمیز کنند [۱۷]، اخیراً از کوادراتورها به عنوان مراقب در امتحانات دانش‌آموzan چینی استفاده شده است.

محققان در ابتدا به مدل‌سازی دینامیکی کوادراتور و بررسی معادلات ریاضی آن با استفاده از دو روش نیوتون اویلر و لاگرانژ پرداختند [۱۸] و سپس اثر نیروهای آیرودینامیکی را بر آن در نظر گرفتند [۱۹]. اگر کوادراتور را یک جسم صلب در فضا در نظر بگیریم، موقعیت آن با سه جهت مختصات و سه زاویه‌ی اویلر قابل شرح است. با توجه به وجود تنها چهار ورودی که توسط چهار ملخ آن تولید می‌شود، فقط چهار درجه آزادی آن به طور همزمان قابل کنترل بوده و به عنوان سیستم کم عملگر^۱ و زیرفعال شناخته می‌شود. بنابراین طراحی روش‌های کنترلی مناسب، به یکی از بزرگ‌ترین چالش‌های پیش روی محققان در پژوهش‌های اخیر تبدیل شده است. مساله‌ی کنترل کوادراتورها را می‌توان به دو دسته‌ی اصلی تقسیم کرد: پایدارسازی^۲ و کنترل تعقیب مسیر^۳، روش‌های کنترلی متنوعی در جهت اراضی این دو مساله برای کوادراتورها ارائه شده است. تیان و همکاران [۲۰] به پایدارسازی کوادراتور حول یک نقطه پرداختند، به گونه‌ای که همگرایی به آن نقطه در زمان محدود شکل بگیرد، در این مقاله، روش‌های متنوعی در مورد پایداری متغیرهای سیستم در زمان محدود ارائه شده است. بیشتر پژوهش‌ها در این حوزه، بر پایدارسازی کوادراتور حول یک نقطه بوده و کمتر به کنترل تعقیب مسیر کوادراتور پرداخته شده است. رافو و همکاران [۲۱] ابتدا معادلات دینامیکی سیستم را با استفاده از روش لاگرانژ به دست آورده و سپس با استفاده از روش کنترلی اچ بی‌نهایت^۴، کنترل کوادراتور در نقاطی از فضا را صورت گرفته است. آیلون و همکاران [۲۲] با استفاده از روش کنترلی بر پایه‌ی لیاپانوف^۵، کوادراتور را در یک مسیر مارپیچ^۶ هدایت می‌کنند. همچنین روش‌های مرسوم کنترل تناسبی-مشتق‌گیر^۷ و کنترل تناسبی-انتگرال‌گیر-مشتق‌گیر^۸ برای کنترل کوادراتور در مراجع بسیاری در نظر گرفته شده است [۲۳-۲۵]. افهمنی و همکاران [۲۶] از یکی از روش‌های کنترلی بهینه یعنی رگولاتور درجه دوم خطی^۹

1 Underactuated

2 Stabilization

3 Tracking control

4 H_{∞}

5 Lyapunov

6 Spiral

7 Proportional-Derivative (PD)

8 Proportional-Integral-Derivative (PID)

9 Linear Quadratic Regulator (LQR)

10 Saturated Nested Functions

11 Adaptive Control

12 Predictive Control

13 Feedback Linearization

14 Backstepping

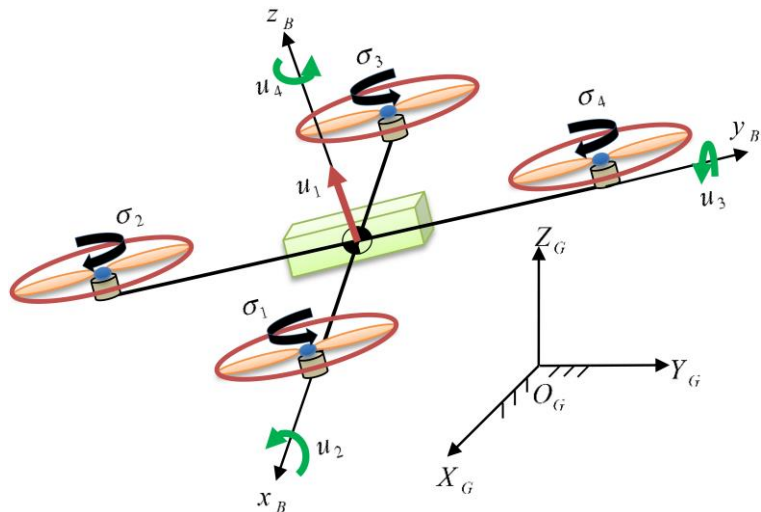


Fig. 1. Quadrotor coordinate system schematic diagram

شکل ۱: شماتیک دستگاههای مختصات کوادراتور

۲- مدلسازی دینامیکی کوادراتور

- فرضیات زیر برای مدلسازی دینامیکی سیستم در نظر گرفته می‌شود:
- سیستم ما اعم از کوادراتور و پروانه‌های آن، جسم صلب است.
- نیروی رانش و گشتاور پسا با مربع سرعت چرخش پروانه‌ها متناسب است.
- ماتریس اینرسی، قطری در نظر گرفته می‌شود.
- مرکز جرم و مرکز هندسی کوادراتور بر هم منطبق است.

در ابتدای مدلسازی، دو دستگاه مختصات دکارتی برای کوادراتور تعیین می‌شود. یک دستگاه مطلق (اینرسی) که بر اساس تعریف، جهت‌گیری کاملاً ثابتی دارد و دیگری دستگاه محلی متصل به جسم است که همراه با جسم حرکت کرده و جهت آن در هر لحظه وابسته به جهت‌گیری پرنده می‌باشد. شکل ۱ نحوه استقرار دستگاههای اینرسی و محلی را نشان می‌دهد.

در این شکل $O_G X_G Y_G Z_G$ دستگاه اینرسی، $O_B X_B Y_B Z_B$ دستگاه محلی، $(\sigma_1, \sigma_2, \sigma_3, \sigma_4)$ سرعت چرخش ملخ‌های کوادراتور، u_1 مجموع نیروهای رانش تولید شده توسط ملخ‌های کوادراتور به عنوان ورودی کنترلی اول و (u_2, u_3, u_4) مجموع گشتاورهای تولید شده توسط ملخ‌های کوادراتور حول سه محور اصلی دستگاه محلی به عنوان سه ورودی کنترلی دیگر می‌باشد. ذکر این نکته ضروری است که سرعت چرخش ملخ‌های کوادراتور (u_1, u_2, u_3, u_4) و ورودی‌های کنترلی سیستم $(\sigma_1, \sigma_2, \sigma_3, \sigma_4)$

به دستیابی به بهترین حالت ترکیب، برای رسیدن به مناسب‌ترین پاسخ سیستم از جمله بیشترین همگرایی به مسیر مرجع، باز می‌باشد. این ویژگی، مزیتی بسیار مهم برای کنترل تعقیب مسیر کوادراتور در حضور موانع می‌باشد. کیماسی و همکاران [۳۴] به کنترل یک ربات در حضور موانع بر اساس توابع لیپانوف پرداخته‌اند. کنترل در حضور موانع با استفاده از توابع پتانسیل برای اولین بار در مرجع [۳۵] بیان شد. ساهو و همکاران [۳۶] با استفاده از این توابع پتانسیل، کنترلر تعقیب مسیر در دو بعد برای یک ربات زیردریایی را طراحی کردند.

در این پژوهش، روش کنترلی پسگام با یک روش مبتنی بر الگوریتم‌های خطی و یک واحد اجتناب از موانع به گونه‌ای با هم ترکیب شده‌اند که نتایج بسیار خوبی از نظر همگرایی کوادراتور به مسیر مرجع در مانورهای پیچیده و در حضور موانع متعدد، خطاهای حالت ماندگار کمینه و مقاومت در برابر دینامیک غیرخطی سیستم حاصل شده است.

در بخش مقدمه، روش‌های کنترل کوادراتورها و انگیزه‌های پژوهش عنوان شده است. در بخش بعدی، مدلسازی دینامیکی کوادراتور با الهام از پژوهش‌های پیشین، به دست آمده و سپس فضای حالت سیستم، محاسبه شده است. در فصل چهارم، استراتژی کنترلی برای کنترل کوادراتور با شرط حضور موانع طراحی شده و در فصل آخر، نتایج حاصله برای دو تعقیب مسیر دایره‌ای و زینی‌شکل در حضور موانع آورده شده است.

موقعیت، زوایای اویلر و مشتق آن‌ها نسبت به زمان است، به صورت زیر در نظر گرفته می‌شود:

$$X = [\phi \quad \dot{\phi} \quad \theta \quad \dot{\theta} \quad \psi \quad \dot{\psi} \quad z \quad \dot{z} \quad x \quad \dot{x} \quad y \quad \dot{y}]^T \quad (4)$$

که در آن:

$$X = [x_1 \quad x_2 \quad x_3 \quad x_4 \quad x_5 \quad x_6 \quad x_7 \quad x_8 \quad x_9 \quad x_{10} \quad x_{11} \quad x_{12}]^T \quad (5)$$

با جایگذاری متغیرهای حالت در معادلات دینامیکی سیستم (۳)، فضای حالت سیستم به صورت زیر نوشته می‌شود:

$$\dot{X} = F(X) + G(X)U \quad (6)$$

که در آن

$$F(x) = \begin{bmatrix} x_2 & Q_1 & x_4 & Q_2 & x_6 & Q_3 & x_8 & -g - \frac{\gamma_z}{m} x_8 & x_{10} \\ -\frac{\gamma_x}{m} x_{10} & x_{12} & -\frac{\gamma_y}{m} x_{12} \end{bmatrix}^T \quad (7)$$

که در آن

$$Q_1 = a_1 x_4 x_6 + a_2 \sigma x_4 - b_1 \gamma_\phi x_2 \quad (8)$$

$$Q_2 = a_1 x_4 x_6 + a_2 \sigma x_4 - b_2 \gamma_\theta x_4 \quad (9)$$

$$Q_3 = a_5 x_2 x_4 - b_3 \gamma_\psi x_6 \quad (10)$$

$$G(X) = [G_1 \quad G_2 \quad G_3 \quad G_4]_{12 \times 4} \quad (11)$$

که در آن

$$G_1 = [0 \quad 0 \quad 0 \quad 0 \quad 0 \quad 0 \quad \Lambda_1 \quad 0 \quad \Lambda_2 \quad 0 \quad \Lambda_3]^T \quad (12)$$

$$G_2 = [0 \quad b_1 \quad 0 \quad 0]^T \quad (13)$$

$$G_3 = [0 \quad 0 \quad 0 \quad b_2 \quad 0 \quad 0]^T \quad (14)$$

$$G_4 = [0 \quad 0 \quad 0 \quad 0 \quad 0 \quad b_3 \quad 0 \quad 0 \quad 0 \quad 0 \quad 0 \quad 0]^T \quad (15)$$

که در آن

$$\Lambda_1 = \frac{1}{m} (\cos x_1 \cos x_3) \quad (16)$$

$$\Lambda_2 = \frac{1}{m} (\cos x_1 \sin x_3 \cos x_5 + \sin x_1 \sin x_5) \quad (17)$$

از رابطه‌ی زیر و به وسیله‌ی ماتریس A و معکوس آن به یکدیگر قابل تبدیل هستند.

$$[u_i]_{4 \times 1} = A [\sigma_i^2]_{4 \times 1} \quad (18)$$

$$A = \begin{bmatrix} b & b & b & b \\ 0 & -bl & 0 & bl \\ -bl & 0 & bl & 0 \\ -d & d & -d & d \end{bmatrix} \quad (19)$$

که در آن، b ضریب رانش، d ضریب پسا و | فاصله‌ی روتورهای کوادراتور تا مرکز هندسی آن می‌باشد.

برای محاسبه‌ی معادلات دینامیکی از روش نیوتن-اویلر استفاده می‌شود. مدلسازی دینامیکی کوادراتورها در مراجع بسیاری صورت گرفته و در این مقاله از مدلسازی مرجع [۳۷] و با در نظر گرفتن تمامی پارامترهای غیر خطی آن به صورت معادله‌ی (۳) استفاده شده است.

$$\ddot{x} = (\cos \phi \sin \theta \cos \psi + \sin \phi \sin \psi) \frac{u_1}{m} - \frac{\gamma_x}{m} \dot{x}$$

$$\ddot{y} = (\cos \phi \sin \theta \sin \psi - \sin \phi \cos \psi) \frac{u_1}{m} - \frac{\gamma_y}{m} \dot{y}$$

$$\ddot{z} = (\cos \phi \cos \theta) \frac{u_1}{m} - g - \frac{\gamma_z}{m} \dot{z} \quad (20)$$

$$\ddot{\phi} = \dot{\theta} \dot{\psi} \frac{(I_y - I_z)}{I_x} - \frac{J_r}{I_x} \dot{\theta} \sigma + \frac{u_2}{I_x} - \frac{\gamma_\phi}{I_x} \dot{\phi}^2$$

$$\ddot{\theta} = \dot{\phi} \dot{\psi} \frac{(I_z - I_x)}{I_y} + \frac{J_r}{I_y} \dot{\phi} \sigma + \frac{u_3}{I_y} - \frac{\gamma_\theta}{I_y} \dot{\theta}^2$$

$$\ddot{\psi} = \dot{\phi} \dot{\theta} \frac{(I_x - I_y)}{I_z} + \frac{u_4}{I_z} - \frac{\gamma_\psi}{I_z} \dot{\psi}^2 \quad (21)$$

در این معادله، (x, y, z) موقعیت مکانی کوادراتور، (ϕ, θ, ψ) زوایای چرخش کوادراتور حول سه محور دستگاه مطلق، (I_x, I_y, I_z, J_r) ممان‌های اینرسی کوادراتور حول سه محور دستگاه محلی و روتورها، m جرم کوادراتور، g شتاب گرانش، σ ضرایب اصطکاک آبرودینامیکی و $\gamma_x, \gamma_y, \gamma_z, \gamma_\phi, \gamma_\theta, \gamma_\psi$ جمع جبری سرعت چرخش ملخ‌های کوادراتور می‌باشد.

۳- فضای حالت سیستم

بردار X شامل متغیرهای حالت مستقل سیستم که در آن

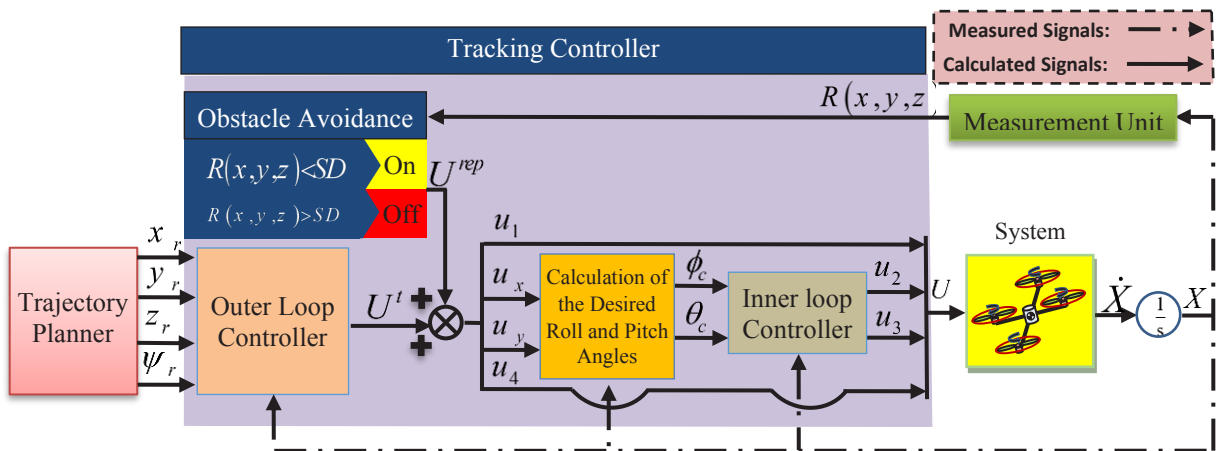


Fig. 2. The trajectory tracking control diagram of the quadrotor in the presence of obstacles

شکل ۲: دیاگرام کنترلی تعقیب مسیر کوادروتور در حضور موانع

$$U^t = [u_1^t \ u_x^t \ u_y^t \ u_4^t]^T \quad (19)$$

$$\Lambda_3 = \frac{1}{m} (\cos x_1 \sin x_3 \sin x_5 - \sin x_1 \cos x_5) \quad (16)$$

ورودی کنترلی (u_1') برای کنترل متغیر ارتفاع کوادروتور (z) و
ورودی (u_4') برای کنترل متغیر (ψ) در نظر گرفته می‌شود. با توجه
به عدم وجود ورودی کنترلی در معادلات دینامیکی برای دو متغیر
موقعیت کوادروتور (x, y)، دو ورودی مجازی به صورت معادله‌های
(20) و (21) در نظر گرفته می‌شود.

$$u_x = (\cos \phi \sin \theta \cos \psi + \sin \phi \sin \psi) \quad (20)$$

$$u_y = (\cos \phi \sin \theta \sin \psi - \sin \phi \cos \psi) \quad (21)$$

با کنترل و تعیین مقادیر مناسب برای زوایای رول و پیچ کوادروتور
در هر لحظه، ورودی‌های مجازی مناسب (u_x, u_y) برای
کنترل دو متغیر موقعیت کوادروتور (x, y) فراهم می‌شود.
واحد اندازه‌گیری، فاصله‌ی کوادروتور با مانع ($R_{(x,y,z)}$) را در هر
لحظه محاسبه می‌کند. اگر این فاصله، از مترین فاصله‌ی در نظر
گرفته شده کمتر باشد، واحد اجتناب از موانع فعال شده و ورودی‌های
موردنیاز (U^{rep}) برای جلوگیری از برخورد کوادروتور با موانع را ایجاد
می‌کند. در حالتی که این فاصله بیشتر از فاصله‌ی امن باشد، واحد
اجتناب از موانع غیر فعال می‌ماند تا کوادروتور به تعقیب مسیر مرجع
ادامه دهد.

$$U^{rep} = [u_1^{rep} \ u_x^{rep} \ u_y^{rep} \ u_4^{rep}]^T \quad (22)$$

در ادامه، مقادیر مناسب زوایای رول و پیچ کوادروتور (ϕ_c, θ_c)

$$U = [u_1 \ u_2 \ u_3 \ u_4]^T \quad (17)$$

همچنین ماتریس زیر، پارامترهای موجود در معادلات فضای
حالت سیستم را بر حسب ممان‌های اینرسی کوادروتور نشان
می‌دهد:

$$\begin{bmatrix} a_1 & a_2 & a_3 & a_4 & a_5 & b_1 & b_2 & b_3 \\ \frac{I_y - I_z}{I_x} & -\frac{J_r}{I_x} & \frac{I_z - I_x}{I_y} & \frac{J_r}{I_y} & \frac{I_x - I_y}{I_z} & \frac{1}{I_x} & \frac{1}{I_y} & \frac{1}{I_z} \end{bmatrix}^T = \quad (18)$$

۴- کنترلر تعقیب مسیر کوادروتور در حضور موانع

۴-۱- استراتژی کنترل

شکل ۲ دیاگرام کنترلی پیشنهادی تعقیب مسیر کوادروتور در
حضور موانع را نشان می‌دهد. با توجه به وجود چهار ورودی کنترلی
در معادلات دینامیکی کوادروتور، چهار درجه آزادی آن به طور
همزمان قابل کنترل است. موقعیت مکانی کوادروتور (z, y, x) و
زاویه‌ی یا و آن (ψ) به عنوان این چهار درجه آزادی در نظر گرفته
می‌شود. ابتدا واحد برنامه‌ریز مسیر، مسیرهای مرجعی که چهار درجه
آزادی تعیین شده باید به تعقیب آن پردازد، تعیین می‌کند. در ادامه،
حلقه‌ی بیرونی کنترلر، بردار ورودی‌های مربوط به کنترل چهار درجه
آزادی تعیین شده (U') را محاسبه می‌کند.

اگر توابع خطاب به صورت $X_r - X = e^{PID}$ ، مشتق اول آن نسبت به زمان را به صورت $\dot{X}_r - \dot{X} = \dot{e}^{PID}$ و مشتق دوم آن را به صورت $\ddot{X}_r - \ddot{X} = \ddot{e}^{PID}$ در نظر گرفته شود، معادله (۲۵) به معادله زیر تبدیل می‌شود:

$$\ddot{e}^{PID} + k_D \dot{e}^{PID} + k_P e^{PID} + k_I \int_0^t e^{PID} d\tau = 0 \quad (26)$$

با مشتق از رابطه (۲۶) می‌توان نوشت:

$$\ddot{e}^{PID} + k_D \dot{e}^{PID} + k_P \dot{e}^{PID} + k_I e^{PID} = 0 \quad (27)$$

معادله مشخصه‌ی این عبارت برابر می‌شود با:

$$\lambda^3 + k_D \lambda^2 + k_P \lambda + k_I = 0 \quad (28)$$

با استفاده از بهره‌های کنترلی مناسب، همهی قطب‌های سیستم در سمت چپ محور موهومی صفحه‌ی همتافت (مختلط) قرار خواهد گرفت و پایداری آن اثبات می‌شود.

با استفاده از رابطه (۲۴) ورودی‌های کنترلی حلقه‌ی بیرونی دیاگرام کنترلی به صورت زیر محاسبه می‌شود:

$$u_1' = \frac{m}{\cos \phi \cos \theta} \left[g + \ddot{z}_r + k_D^z \dot{e}_z^{PID} + k_P^z e_z^{PID} + k_I^z \int_0^t e_z^{PID} d\tau + \frac{\gamma_z}{m} \dot{z} \right] \quad (29)$$

$$u_x' = \frac{m}{u_1} \left[\ddot{x}_r + k_D^x \dot{e}_x^{PID} + k_P^x e_x^{PID} + k_I^x \int_0^t e_x^{PID} d\tau + \frac{\gamma_x}{m} \dot{x} \right] \quad (30)$$

$$u_y' = \frac{m}{u_1} \left[\ddot{y}_r + k_D^y \dot{e}_y^{PID} + k_P^y e_y^{PID} + k_I^y \int_0^t e_y^{PID} d\tau + \frac{\gamma_y}{m} \dot{y} \right] \quad (31)$$

$$u_4' = I_z \left[\ddot{\psi}_r + k_D^\psi \dot{e}_\psi^{PID} + k_P^\psi e_\psi^{PID} + k_I^\psi \int_0^t e_\psi^{PID} d\tau - b_3 (I_x - I_y) \dot{\phi} \dot{\theta} + b_3 \gamma_\psi \dot{\psi}^2 \right] \quad (32)$$

۴-۳- واحد اجتناب از موانع

با توجه به افزایش روزافزون تعداد پهپادها و مخصوصاً کوادراتورها، اجتناب از احتمال برخورد آن‌ها با یکدیگر و دیگر موانع، یکی از موضوعات اساسی در این حوزه می‌باشد. معمولاً کوادراتورها برای

با استفاده از ورودی‌های به دست آمده تعیین می‌شود و در حلقه‌ی داخلی به وسیله‌ی ورودی‌های (u_2, u_3) ، این زوایا حول مقادیر تعیین شده پایدار خواهد شد. در انتهای دیاگرام، چهار ورودی اصلی محاسبه شده به سیستم کوادراتور به منظور تعقیب مسیر دلخواه و اجتناب از موانع، وارد می‌شود.

۴-۲- کنترلر حلقه‌ی بیرونی

روش کنترلی ارائه شده در این بخش از روش‌های کنترلی خطی الهام گرفته شده که می‌توان از آن برای کنترل سیستم‌های غیرخطی بدون هیچ خطی‌سازی از پارامترهای سیستم، استفاده کرد. بدینهی است که هرگونه خطی‌سازی در سیستم‌های دینامیکی، آن‌ها را از مدل واقعی خود دور خواهد کرد و به همین علت، روش‌های کنترلی خطی مرسوم نتایج خوبی در عمل نشان نخواهد داد. کلید اصلی این روش، تبدیل معادلات دیفرانسیلی غیرخطی به یک معادله دیفرانسیلی خطی و یک معادله جبری غیرخطی می‌باشد. ذکر مجدد این نکته ضروری است که در این روش، هیچ‌گونه خطی‌سازی و از دست رفتن پارامترهای سیستم صورت نخواهد گفت و سیستم غیرخطی تماماً به صورت روش کنترلی غیرخطی کنترل خواهد شد.

$$\ddot{X} = F(X, \dot{X}) + G(X, \dot{X})U^t \quad (23)$$

قضیه: قانون کنترلی (۲۴)، سیستم دینامیکی (۲۳) را حول مسیرهای مرجع پایدار می‌سازد.

$$U^t = \frac{1}{G(X, \dot{X})} \left\{ \begin{array}{l} \ddot{X}_r + k_D(\dot{X}_r - \dot{X}) + \\ k_P(X_r - X) + k_I \int_0^t (X_r - X) d\tau - F(X, \dot{X}) \end{array} \right\} \quad (24)$$

که در آن X_r بردار مقادیر مسیرهای مطلوب سیستم، t مدت زمان پرواز و (k_P, k_D, k_I) بهره‌های کنترلی تناسبی، مشتق‌گیر و انتگرال‌گیر هستند که همواره مثبت در نظر گرفته می‌شوند.

اثبات: در معادله (۲۳)، \ddot{X} به صورت زیر در نظر گرفته می‌شود:

$$\ddot{X} = \dot{X}_r + k_D(\dot{X}_r - \dot{X}) + k_P(X_r - X) + k_I \int_0^t (X_r - X) d\tau \quad (25)$$

SD ، فاصله‌ی امن بین کوادراتور و موانع در نظر گرفته می‌شود.
 $R_{obs}(x, y, z)$ فاصله‌ی کوادراتور از موانع در هر لحظه بوده که توسط واحد اندازه‌گیری با استفاده از معادله‌ی زیر محاسبه می‌شود:

$$R_{obs}(x, y, z) = \sqrt{(x_9 - x_{obs})^2 + (x_{11} - y_{obs})^2 + (x_7 - z_{obs})^2} \quad (36)$$

هنگام مواجهه با موانع، محدودیتی بر زاویه‌ی یا کوادراتور که به عنوان یکی از متغیرهای مرجع در نظر گرفته شده بود، وجود ندارد، در نتیجه $(u_4^{rep} = 0)$ در نظر گرفته می‌شود. در انتهای، در هنگامی که فاصله‌ی کوادراتور از فاصله‌ی در نظر گرفته شده کمتر می‌شود ($R_{obs}(x, y, z) < SD$)، بردار نیروی مجازی (U^{rep}) برای اجتناب از موانع به صورت معادله‌ی (۲۲) فعال می‌شود.

۴- واحد محاسبه‌ی زوایای رول و پیچ

همانطور که پیشتر گفته شد، زوایای رول و پیچ کوادراتور متعارف حول مقادیر (ϕ_c, θ_c) پایدار شوند. با پایدارسازی دو متغیر موقعیت کوادراتور (x, y) حول مسیرهای مرجع (x_r, y_r) ، دو ورودی مجازی تعریف شده (u_x, u_y) ، محاسبه می‌شوند. در ادامه با استفاده از این ورودی‌های مجازی (u_x, u_y) و معادلات (۲۰) و (۲۱)، (ϕ_c, θ_c) تعیین می‌گردد.

از معادلات دینامیکی کوادراتور، اگر فرض شود در واحد برنامه‌ریز مسیر زاویه‌ی یا کوادراتور (γ_r) به سمت صفر میل کند، می‌توان

نوشت:

$$m\ddot{x} + \gamma_x \dot{x} = \cos \phi_c \sin \theta_c u_1 \quad (37)$$

$$m\ddot{y} + \gamma_y \dot{y} = -\sin \phi_c u_1 \quad (38)$$

$$m\ddot{z} + mg + \gamma_z \dot{z} = \cos \theta_c \cos \phi_c u_1 \quad (39)$$

با تقسیم معادله‌ی (۳۷) بر (۳۹) می‌توان نوشت:

$$\tan \theta_c = \frac{m\ddot{x} + \gamma_x \dot{x}}{m\ddot{z} + mg + \gamma_z \dot{z}} \quad (40)$$

و در نتیجه:

$$\theta_c = \tan^{-1} \left(\frac{m\ddot{x} + \gamma_x \dot{x}}{m\ddot{z} + mg + \gamma_z \dot{z}} \right) \quad (41)$$

پرواز امن خود نیاز به سنسورهای بسیاری دارند که همین مساله موجب افزایش قیمت این پرندگان شده است. از جمله‌ی این سنسورها، واحدهای اندازه‌گیری لختی^۱ که شامل شتاب‌سنج‌ها، ژیروسکوپ، مغناطیس‌سنج، بارومتر و ... می‌باشد. اما سنسور مربوط به این بخش، فاصله‌سنج است که وظیفه‌ی آن، اعلام فاصله‌ی کوادراتور با موانع در هر لحظه می‌باشد. این سنسورها تنوع بسیاری دارند. برای مثال سنسور اولتراسونیک^۲ فاصله‌ی کوادراتور با مانع را با ارسال یک موج صوتی در فرکانس خاص و دریافت همان موج صوتی بعد از برخورد به مانع، محاسبه می‌کند. با محاسبه مدت زمان سپری شده بین موج صوتی ارسال شده و بازگشته، فاصله بین کوادراتور و موانع اطراف محاسبه می‌شود. اما یکی از راههای اجتناب از موانع، استفاده از توابع پتانسیل مجازی می‌باشد. الگوریتم کنترلی به گونه‌ای طراحی می‌شود که با کاهش فاصله‌ی بین مانع و کوادراتور، نیروی مجازی جهت اجتناب از مانع افزایش یافته و با افزایش این فاصله، نیروی مجازی کاهش می‌یابد. وقتی مقدار فاصله‌ی کوادراتور از مانع از حدی بیشتر شد و از منطقه‌ی نامن خارج شد، مقدار نیروی مجازی به صفر می‌رسد و بدین ترتیب این واحد کنترلی غیر فعال می‌شود. توابع پتانسیل به طرق مختلف خطی، درجه دو و ... قبل تعریف هستند و انرژی لازم جهت اجتناب از مانع را برای سیستم فراهم می‌کنند. با الهام از پژوهش‌های پیشین و مقاله‌ی [۳۶]، نیروهای مجازی به دست آمده جهت اجتناب از مانع برای هر سه جهت اصلی مختصات کوادراتور به صورت زیر در نظر گرفته می‌شود:

$$u_x^{rep} = -k_x^{obs} \frac{(x_9 - x_{obs})(R_{obs}^2(x, y, z) - SD^2)}{R_{obs}^2} \quad (33)$$

$$u_y^{rep} = -k_y^{obs} \frac{(x_{11} - y_{obs})(R_{obs}^2(x, y, z) - SD^2)}{R_{obs}^2} \quad (34)$$

$$u_z^{rep} = -k_z^{obs} \frac{(x_7 - z_{obs})(R_{obs}^2(x, y, z) - SD^2)}{R_{obs}^2} \quad (35)$$

که در آن $(u_x^{rep}, u_y^{rep}, u_z^{rep})$ سه نیروی مجازی مورد نیاز برای اجتناب از مانع می‌باشد. $(K_x^{obs}, k_y^{obs}, k_z^{obs})$ بهره‌های کنترلی اجتناب از مانع، $(x_{obs}, y_{obs}, z_{obs})$ مرکز مختصات مانع و

¹ Inertial Measurement Units (IMUs)

² Ultrasonic Sensor

همچنین از معادلات (۳۷)، (۳۸) و (۳۹) می‌توان نوشت:

معادله (۶) می‌توان نوشت:

$$\dot{x}_{2i-1} = x_{2i} \quad (50)$$

$$\dot{x}_{2i} = f_{2i}(X) + g_{2i}(X)u_k \quad (51)$$

قضیه: قانون کنترلی (۵۲)، سیستم دینامیکی (۳) با فضای حالت به فرم (۶) را حول مسیرهای مرتع پایدار می‌سازد.

$$u_k = \frac{1}{g_{2i}(X)} \left[\dot{x}_{2ic} + e_{2i-1} - f_{2i}(X) - c_{2i-1}(e_{2i} + c_{2i-1}e_{2i-1}) - c_{2i}e_{2i} \right] \quad (52)$$

که در آن $(k=2, 3)$ u_k ورودی‌های کنترلی مورد نظر، $(i=1, 2)$ e_i توابع خطای c_i بهره‌های کنترلی هستند که همواره مثبت در نظر گرفته می‌شوند.

اثبات: ابتدا، توابع خطای برای کنترل متغیرهای حالت شمارنده‌ی فرد به صورت زیر تعریف می‌شود:

$$e_{2i-1} = x_{(2i-1)c} - x_{2i-1} \quad (53)$$

که در آن، $(i=1, 2)$ $x_{(2i-1)c}$ مقادیر مطلوب سیستم هستند. تابع کاندید لیاپانوف اول برای این سیگنال خطای به صورت زیر تعریف می‌شود:

$$W_i = \frac{1}{2} e_{2i-1}^2 \quad (54)$$

مشتق اول این تابع خطای نسبت به زمان محاسبه می‌شود:

$$\dot{W}_i = e_{2i-1} \dot{e}_{2i-1} = e_{2i-1} \left(\dot{x}_{(2i-1)c} - \dot{x}_{2i-1} \right) \quad (55)$$

با استفاده از معادله (۵۰)، می‌توان معادله (۵۵) را به صورت زیر نوشت:

$$\dot{W}_i = e_{2i-1} \left(\dot{x}_{(2i-1)c} - x_{2i} \right) \quad (56)$$

برای پایداری سیگنال‌های خطای \dot{W}_i باید منفی معین باشد:

$$\dot{W}_i = -c_{2i-1} e_{2i-1}^2 < 0 \quad (57)$$

که در آن همانطور که پیشتر گفته شد، برای $(i=1, 2)$

$$\begin{aligned} \frac{(-\sin \phi_c u_1)^2}{(\cos \phi_c \sin \theta_c u_1)^2 + (\cos \theta_c \cos \phi_c u_1)^2} = \\ \frac{(m\ddot{y} + \gamma_y \dot{y})^2}{(m\ddot{x} + \gamma_x \dot{x})^2 + (m\ddot{z} + mg + \gamma_z \dot{z})^2} \end{aligned} \quad (42)$$

بنابراین:

$$\tan^2 \phi_c = \frac{(m\ddot{y} + \gamma_y \dot{y})^2}{(m\ddot{x} + \gamma_x \dot{x})^2 + (m\ddot{z} + mg + \gamma_z \dot{z})^2} \quad (43)$$

و در نتیجه:

$$\phi_c = \tan^{-1} \left(\frac{\pm(m\ddot{y} + \gamma_y \dot{y})}{\sqrt{(m\ddot{x} + \gamma_x \dot{x})^2 + (m\ddot{z} + mg + \gamma_z \dot{z})^2}} \right) \quad (44)$$

با استفاده از معادلات (۳)، (۲۰) و (۲۱) و می‌توان نوشت:

$$m\ddot{x} = u_x u_1 - \gamma_x \dot{x} \quad (45)$$

$$m\ddot{y} = u_y u_1 - \gamma_y \dot{y} \quad (46)$$

$$m\ddot{z} = (\cos \theta \cos \phi) u_1 - mg - \gamma_z \dot{z} \quad (47)$$

با جایگذاری این سه معادله در معادلات (۴۱) و (۴۴)، مقادیری که زوایای رول و پیچ باید به سمت آن حرکت کند تا دو متغیر موقعیت کوادراتور (x, y) به سمت نقاط تعريف شده در واحد برنامه‌ریز پایدار شود، به دست می‌آید:

$$\phi_c = \tan^{-1} \left(\frac{\pm u_y}{\sqrt{(u_x)^2 + (\cos \theta \cos \phi)^2}} \right) \quad (48)$$

$$\theta_c = \tan^{-1} \left(\frac{u_x}{\cos \theta \cos \phi} \right) \quad (49)$$

۴-۵- کنترلر حلقه‌ی داخلی

از روش کنترلی پسگام برای پایدارسازی زوایای رول و پیچ حول (ϕ_c, θ_c) در کنترلر حلقه‌ی داخلی استفاده می‌شود. همانطور که پیشتر گفته شد زاویه‌ی رول (ϕ_c) حول (ϕ) به وسیله‌ی ورودی کنترلی (u_2) و زاویه‌ی پیچ (θ_c) حول (θ) به وسیله‌ی ورودی کنترلی (u_3) پایدار می‌شوند. این زوایا در فضای حالت به ترتیب با

مقادیر مثبت در نظر گرفته می‌شود.

در ادامه با فرض:

$$\dot{V}_i = -c_{2i-1}e_{2i-1}^2 - c_{2i}e_{2i}^2 \quad (67)$$

و در نتیجه با ترکیب معادلات (۶۶) و (۶۷)، ورودی‌های کنترلی به شکل معادله‌ی (۵۲) به دست می‌آیند:

$$u_2 = \frac{1}{b_1} \begin{bmatrix} \dot{x}_{2c} + e_1 - c_1(e_2 + c_1e_1) - \\ c_2e_2 - a_1x_4x_6 - a_2\sigma x_4 + b_1\gamma_\phi x_2^2 \end{bmatrix} \quad (68)$$

$$u_3 = \frac{1}{b_2} \begin{bmatrix} \dot{x}_{4c} + e_3 - c_3(e_4 + c_3e_3) - \\ c_4e_4 - a_3x_2x_6 - a_4\omega x_2 + b_2\gamma_\theta x_4^2 \end{bmatrix} \quad (69)$$

۵- نتایج شبیه‌سازی

برای بررسی عملکرد کنترلر طراحی شده برای کنترل تعییب مسیر کوادراتور در حضور موانع، به شبیه‌سازی در نرم‌افزار متلب، ارزیابی و مقایسه‌ی نتایج در دو آزمایش متفاوت پرداخته شده است. جدول ۱ و جدول ۲ به ترتیب مشخصات کوادراتور مورد ارزیابی و کنترلر را نمایش می‌دهند.

۵-۱- کنترل تعییب مسیر دایره‌ای شکل کوادراتور در حضور مانع
در این آزمایش، کوادراتور به منظور تعییب یک مسیر دایره‌ای شکل در ارتفاع ده متری از سطح زمین تحت روش کنترلی ارائه شده با معادلات مسیر مرجع (۷۰) از روی زمین و نقطه‌ی (۱۰، ۱۰، ۰) شروع به حرکت می‌کند.

$$\begin{aligned} x_r &= 10 \sin \frac{t}{3} \\ y_r &= 10 \cos \frac{t}{3} \\ z_r &= 10 \end{aligned} \quad (70)$$

مکان مانع کروی شکل در نظر گرفته شده در نقطه‌ی (۱۰، ۱۰، -۱۰) می‌باشد. با توجه به نتایج، ۲۰ ثانیه طول می‌کشد که کوادراتور از زمین بلند شده، مسیر مرجع را تعییب کرده و هنگام مواجهه با مانع از آن اجتناب کند و یک دایره‌ی کامل در فضا را بپیماید. شکل ۳ و شکل ۴ تعییب مسیر کوادراتور در این آزمایش را در دو نما نشان می‌دهد. همانطور که ملاحظه می‌شود کوادراتور با موفقیت مسیر مرجع را تحت کنترل ارائه شده تعییب کرده است. هنگامی که فاصله‌ی

$$x_{2i} = \dot{x}_{(2i-1)c} + c_{2i-1}e_{2i-1} \quad (58)$$

برای پایدارسازی این معادله،تابع خطابی دیگر برای کنترل متغیرهای حالت شمارنده‌ی زوج سیستم به صورت زیر تعریف می‌شود:

$$e_{2i} = x_{2i} - \dot{x}_{(2i-1)c} - c_{2i-1}e_{2i-1} \quad (59)$$

با توجه به فضای حالت $(\dot{x}_{(2i-1)c} = x_{2ic})$ ، مشتق رابطه‌ی به صورت زیر به دست خواهد آمد:

$$\dot{e}_{2i} = \dot{x}_{2i} - \dot{x}_{2ic} - c_{2i-1}\dot{e}_{2i-1} \quad (60)$$

همچنین از مشتق رابطه‌ی (۵۳) می‌توان نوشت:

$$\dot{e}_{2i-1} = \dot{x}_{(2i-1)c} - x_{2i} \quad (61)$$

با جایگذاری معادله‌ی (۶۱) در معادله‌ی (۵۹) می‌توان نوشت:

$$e_{2i} = -\dot{e}_{2i-1} - c_{2i-1}e_{2i-1} \quad (62)$$

تابع کاندید لیاپانوف دوم را به صورت زیر در نظر گرفته می‌شود:

$$V_i = \frac{1}{2}(e_{2i-1}^2 + e_{2i}^2) \quad (63)$$

مشتق آن برابر است با:

$$\dot{V}_i = e_{2i-1}\dot{e}_{2i-1} + e_{2i}\dot{e}_{2i} \quad (64)$$

با جایگذاری (۶۰) و (۶۲) در (۶۴) نتیجه می‌شود:

$$\begin{aligned} \dot{V}_i &= e_{2i-1}(-e_{2i} - c_{2i-1}e_{2i-1}) + \\ &e_{2i}(\dot{x}_{2i} - \dot{x}_{2ic} - c_{2i-1}\dot{e}_{2i-1}) \end{aligned} \quad (65)$$

با جایگذاری (۵۱) و (۵۲) در (۶۵) می‌توان نوشت:

$$\begin{aligned} \dot{V}_i &= e_{2i-1}(-e_{2i} - c_{2i-1}e_{2i-1}) + \\ &e_{2i} \left\{ f_{2i}(X) + g_{2i}(X)u_k - \right. \\ &\left. e_{2i} \left(\dot{x}_{2ic} - c_{2i-1}(-e_{2i} - c_{2i-1}e_{2i-1}) \right) \right\} \end{aligned} \quad (66)$$

و برای اینکه متغیرهای حالت حول مسیرهای مرجع پایدار شوند،

\dot{V}_i باید منفی معین باشد:

جدول ۱: مشخصات کوادرورتور مورد آزمایش

Table 1. Specifications of the quadrotor

واحد	مقدار	پارامتر	شرح
m/s^2	۹/۸۱	g	شتاب گرانش
kg	۱	m	جرم
m	۰/۲۲۳۵	I	فاصله بین روتورها و مرکز جرم کوادرورتور
$N.m.s^2$	۰/۰۳۲۱۵	I_x	اینرسی کوادرورتور حول محور x_B
$N.m.s^2$	۰/۰۱۲۵۲۲	I_y	اینرسی کوادرورتور حول محور y_B
$N.m.s^2$	۰/۰۲۳۵۲۷	I_z	اینرسی کوادرورتور حول محور z_B
$N.m.s^2$	۰/۰۰۰۰۳۳۲۱۶	J_r	اینرسی روتور
$kg.m / rad^2$	۰/۰۰۰۰۱۵۵۶	b	ضریب رانش
$kg.m^2 / rad^2$	۰/۰۰۰۰۰۳۱۷	d	ضریب پسا
$N.s / m$	۰/۰۰۰۵۵۸۲۳	γ_x	ضرایب اصطکاک آبرودینامیکی
$N.s / m$	۰/۰۰۰۵۵۸۲۳	γ_y	
$N.s / m$	۰/۰۰۰۶۵۳۱۷	γ_z	
$N.s / rad$	۰/۰۰۰۵۵۸۲۳	γ_ϕ	
$N.s / rad$	۰/۰۰۰۵۵۸۲۳	γ_θ	
$N.s / rad$	۰/۰۰۰۶۵۳۱۷	γ_ψ	

جدول ۲: مشخصات کنترلر تعقیب مسیر کوادرورتور در حضور موانع

Table 2. Specifications of trajectory tracking controller in the presence of obstacles

واحد	مقدار	پارامتر	شرح
—	۲	$c_i (i=1,2)$	بهره‌های روش کنترلی پسگام
—	۳/۵	$k_p^z, k_p^x, k_p^y, k_p^\psi$	بهره‌های کنترلی تنااسبی
—	۳/۵	$k_D^z, k_D^x, k_D^y, k_D^\psi$	بهره‌های کنترلی مشتق‌گیر
—	۰/۰۱	$k_I^z, k_I^x, k_I^y, k_I^\psi$	بهره‌های کنترلی انتگرال‌گیر
—	۰/۵	$k_x^{obs}, k_y^{obs}, k_z^{obs}$	بهره‌های کنترلی واحد اجتناب از موانع
m	۵	SD	فاصله امن در نظر گرفته شده بین کوادرورتور و موانع

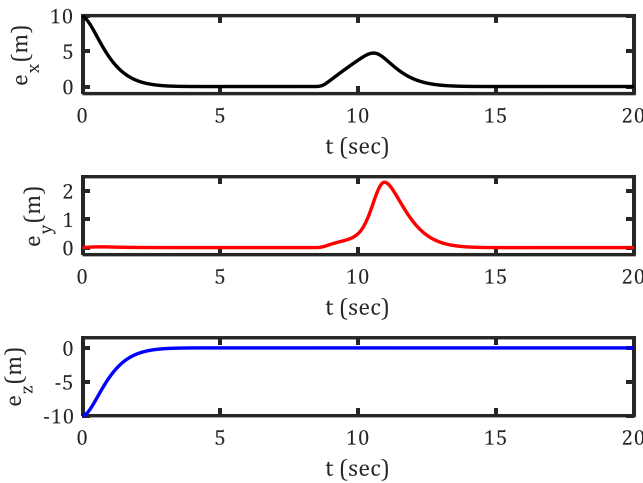


Fig. 5. The quadrotor position errors in tracking the circular trajectory

شکل ۵: خطای موقعیت مکانی کوادروتور نسبت به زمان در تعقیب مسیر دایره‌ای شکل

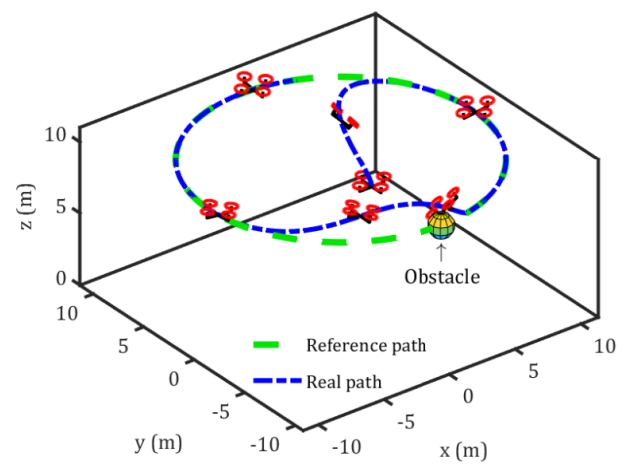


Fig. 3. Tracking the circular path using the proposed controller in the presence of an obstacle (original view)

شکل ۳: تعقیب مسیر دایره‌ای شکل کوادروتور توسط کنترل ارائه شده در حضور مانع (نمای اصلی)

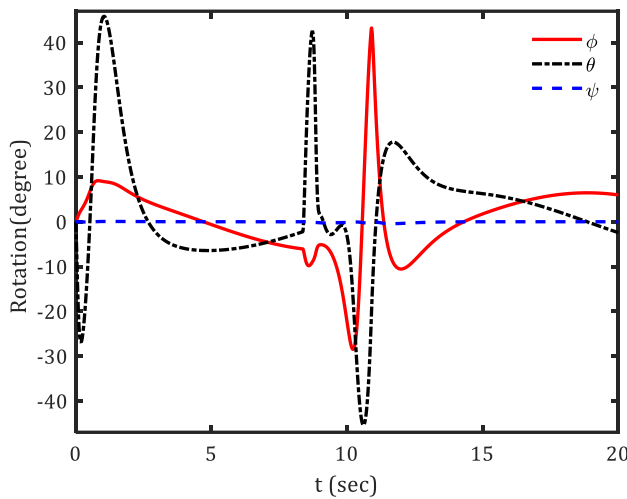


Fig. 6. The time-history of the quadrotor Euler angles in tracking the circular trajectory

شکل ۶: تغییرات روایای اوبلر کوادروتور نسبت به زمان در تعقیب مسیر دایره‌ای شکل

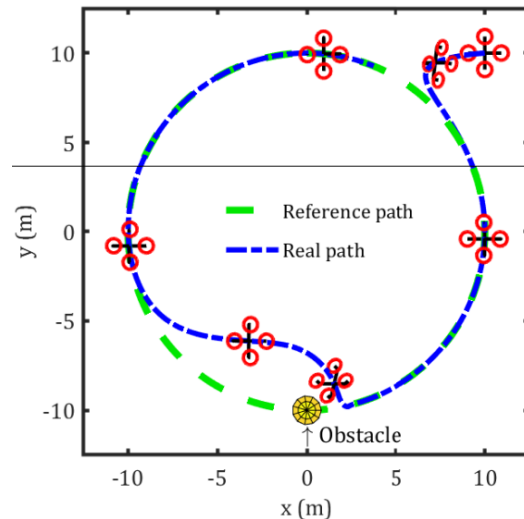


Fig. 4. Tracking the circular path using the proposed controller in the presence of an obstacle (up view)

شکل ۴: تعقیب مسیر دایره‌ای شکل کوادروتور توسط کنترل ارائه شده در حضور مانع (نمای بالا)

مسیر را ایجاد کنند. شکل ۷ و شکل ۸ به ترتیب تغییرات ورودی‌های کنترلی و سرعت چرخش ملخ‌های کوادروتور در این تعقیب مسیر را نشان می‌دهد.

در ابتدای حرکت، سرعت چرخش ملخ‌های کوادروتور به 8000 دور بر دقیقه به منظور نیل به مسیر دایره‌ای شکل می‌رسد و بر روی مسیر مرجع، این مقدار تقریباً نصف می‌شود. موتورهای براشلس استفاده شده در کوادروتور توانایی ایجاد سرعت تا 25000 دور بر دقیقه را دارا می‌باشند. با توجه به وزن یک کیلوگرمی کوادروتور،

کوادروتور تا مانع به 5 متر می‌رسد، واحد اجتناب از مانع فعال شده و ورودی‌های مورد نیاز برای اجتناب از مانع فراهم می‌شود. شکل ۵ نشان می‌دهد حدوداً $8/5$ ثانیه پس از شروع حرکت، کوادروتور از مسیر مرجع به منظور اجتناب از مانع منحرف شده و در ثانیه‌ی $14/5$ دوباره به مسیر مرجع خود همگرا می‌شود. این انحراف از مسیر در جهات مختصاتی (y, z, x) بسیار بیشتر از جهت Z صورت گرفته است. با توجه به شکل ۶، کنترل نیازی به استفاده از زاویه یا و کوادروتور در کل مسیر حرکت خود نداشته است. زوایای رول و پیچ حدوداً تا 40 درجه تغییر می‌کنند تا شبیه مناسب در کوادروتور برای تعقیب

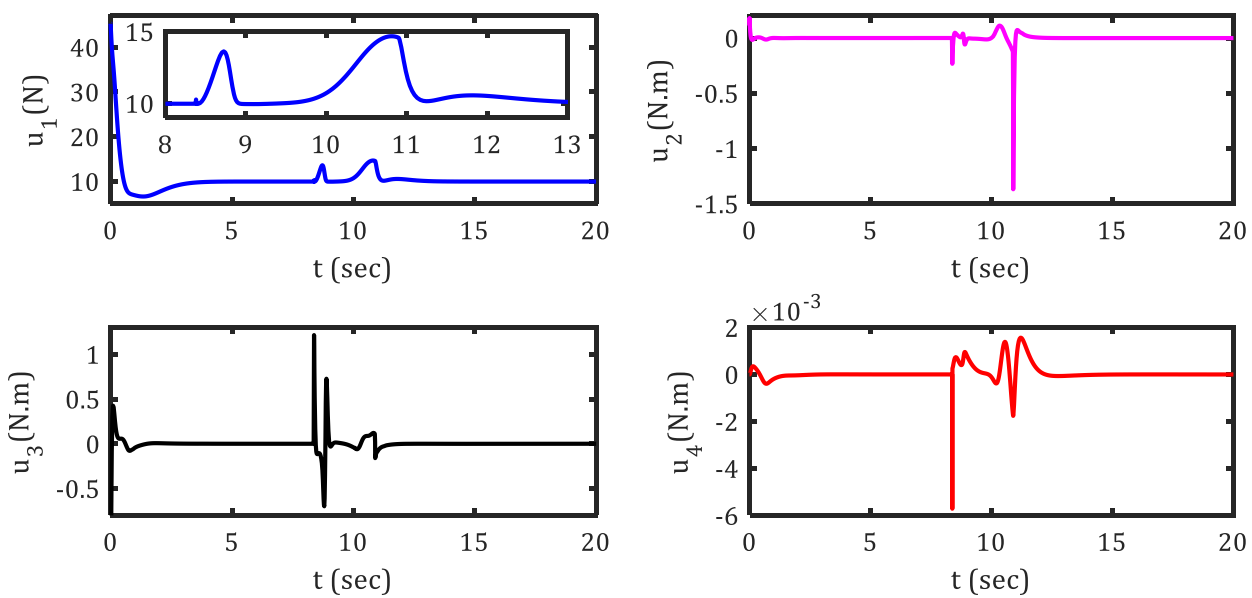


Fig. 7. The time-history of the quadrotor control inputs in tracking the circular trajectory

شکل ۷: تغییرات ورودی‌های کنترلی کوادروتور نسبت به زمان در تعقیب مسیر دایره‌ای شکل

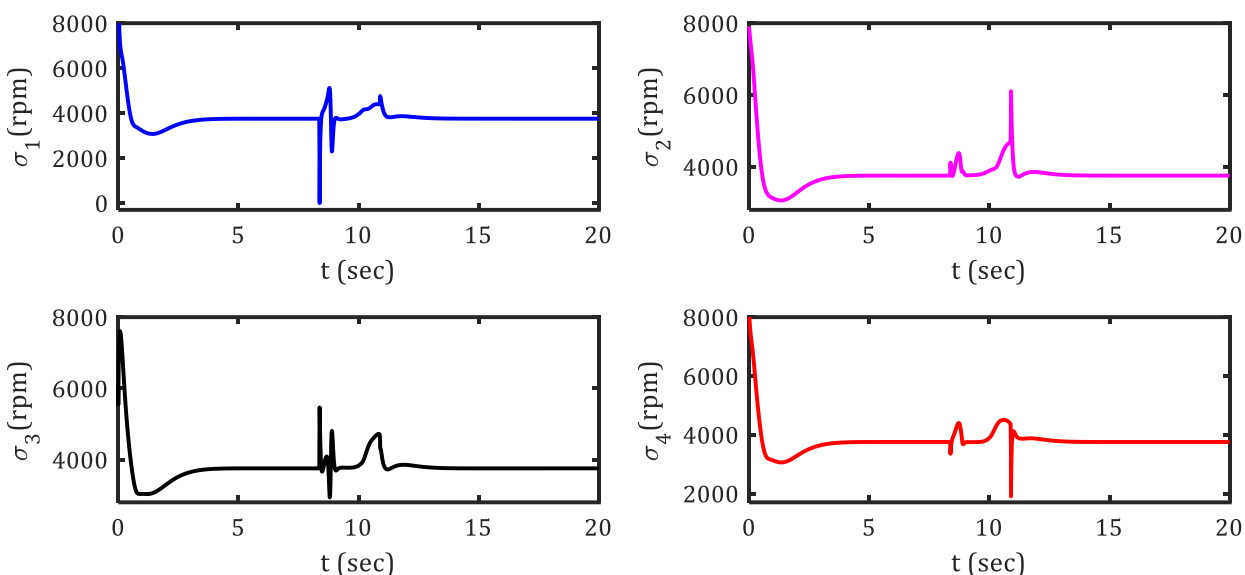


Fig. 8. The time-history of the speed of the rotors in tracking the circular trajectory

شکل ۸: تغییرات سرعت ملخ‌های کوادروتور نسبت به زمان در تعقیب مسیر دایره‌ای شکل

شروع به حرکت کرده تا یک مسیر زینی شکل با معادلات مسیر مرجع
(۷۱) تحت روش کنترلی ارائه شده را تعقیب کند.

$$\begin{aligned} x_r &= 10 \sin \frac{t}{8} \\ y_r &= 10 \cos \frac{t}{8} \\ z_r &= 10 + 10 \sin \frac{t}{4} \end{aligned} \quad (71)$$

حدودا ۱۰ نیوتون نیروی عمودی برای معلق ماندن کوادروتور مورد
نیاز است. در هنگام تعقیب مسیر مرجع، u_1 که مجموع نیروهای
رانش تولید شده توسط ملخ‌ها را نشان می‌دهد، تقریبا حول ۱۰ نیوتون
نوسان داشته و در هنگام انحراف از موانع، این نیرو افزایش می‌یابد.

۵-۵- کنترل تعقیب مسیر زینی شکل کوادروتور در حضور موانع
در این بخش، کوادروتور از نقطه‌ی $(x_0, y_0, z_0) = (10, 10, 0)$ شروع می‌کند

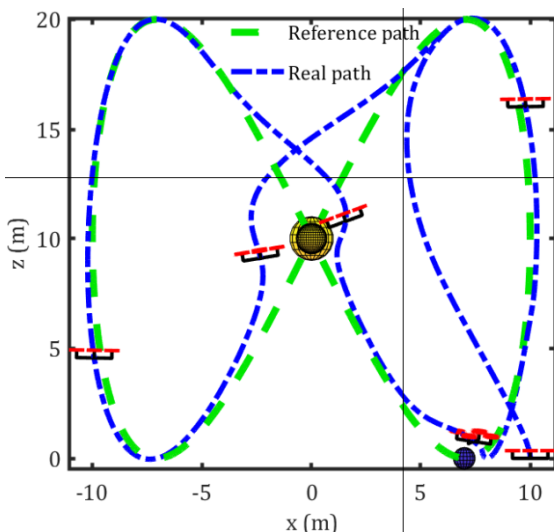


Fig. 10. Tracking paraboloid hyperbolic reference trajectory using the proposed controller in the presence of multiple obstacles (side view)

شکل ۱۰: تعقیب مسیر زینی شکل کوادروتور توسط کنترلر ارائه شده در حضور موانع (نمای جانبی)

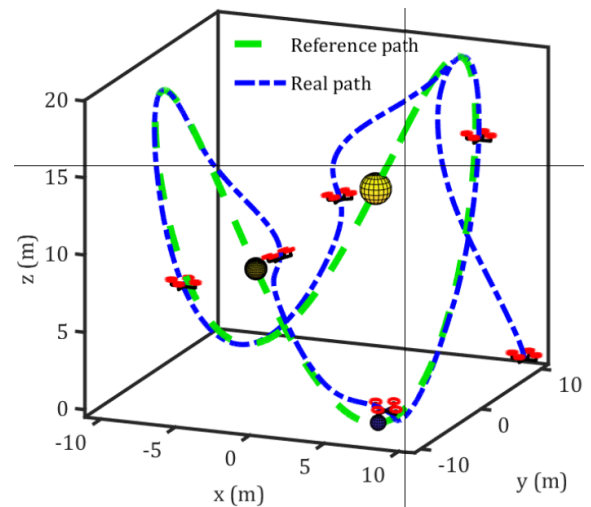


Fig. 9. Tracking paraboloid hyperbolic reference trajectory using the proposed controller in the presence of multiple obstacles (original view)

شکل ۹: تعقیب مسیر زینی شکل کوادروتور توسط کنترلر ارائه شده در حضور موانع (نمای اصلی)

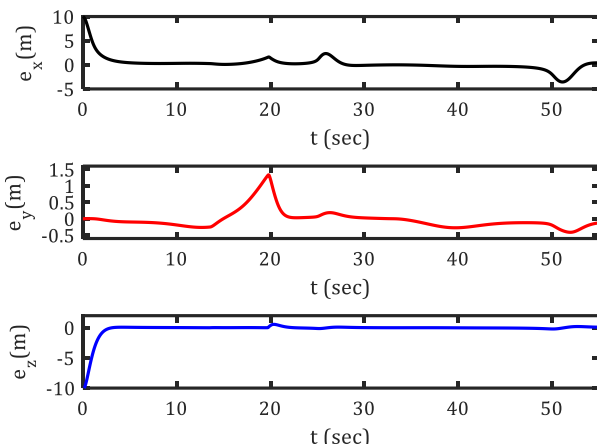


Fig. 11. The quadrotor position errors in tracking paraboloid hyperbolic reference trajectory

شکل ۱۱: خطای موقعیت مکانی کوادروتور نسبت به زمان در تعقیب مسیر زینی شکل

۱۲، زوایای اویلر دچار تغییرات بسیاری شده‌اند. ابتدا در شروع حرکت برای رسیدن به مسیر مرجع و سپس در سه نقطه‌ای که موانع وجود دارند، کنترل طراحی شده زوایای کوادروتور را به منظور اجتناب از موانع تغییر می‌دهد. در این آزمایش برخلاف آزمایش قبلی، زوایه‌ی یا کوادروتور نیز دچار تغییر و نوسان در طول حرکت خود شده است که به دلیل پیچیدگی‌های بیشتر مسیر حرکت کوادروتور در این آزمایش می‌باشد.

جدول ۳: مشخصات موانع

Table 3.Specifications of the obstacles

واحد	قطر	مکان $(x_{obs}, y_{obs}, z_{obs})$	شرح
m	۱	(۷, -۷, ۰)	مانع اول
m	۱/۴	(۰, -۱۰, ۱۰)	مانع دوم
m	۲	(۰, ۱۰, ۱۰)	مانع سوم

در این آزمایش، سه مانع کروی با اندازه‌های مختلف در نظر گرفته شده و جدول ۳، مشخصات این موانع را نشان می‌دهد.

شکل ۹ و شکل ۱۰ تعقیب مسیر کوادروتور تحت این آزمایش را در دو نمایش نشان می‌دهد.

همانطور که مشاهده می‌شود کوادروتور تحت کنترل ارائه شده توانسته مسیر مرجع را با اجتناب از هر سه مانع طی کند. شکل ۱۱ خطای موقعیت مکانی و شکل ۱۲ تغییرات زوایای اویلر کوادروتور را در این تعقیب مسیر نشان می‌دهد.

هنگامی که کوادروتور مسیر مرجع را تعقیب می‌نماید خطای موقعیت مکانی در هر سه جهت به سمت صفر میل می‌کند؛ اما در هنگام مواجهه با موanع، به طبع کوادروتور از مسیر مرجع منحرف شده تا از برخورد با آن‌ها جلوگیری شود و پس از دور شدن از آن‌ها دوباره به مسیر اصلی حرکت خود باز می‌گردد. در چهار نقطه از شکل

ماتریس تبدیل سرعت چرخش ملخ‌ها به ورودی‌های کنترلی	A
ضریب رانش، $\text{kg} \cdot \text{m}/\text{rad}^2$	b
بهره‌های روش کنترلی پسگام	c_i
ضریب پسا، $\text{kg} \cdot \text{m}^2/\text{rad}^2$	d
شتاب گرانش، m/s^2	g
اینرسی کوادراتور حول محور x_B , I_x	
اینرسی کوادراتور حول محور y_B , I_y	
اینرسی کوادراتور حول محور z_B , I_z	
اینرسی روتور، $\text{N} \cdot \text{m} \cdot \text{s}^2$	J_r
بهره‌های کنترلی تناسبی	k_p
بهره‌های کنترلی مشتقی	k_D
بهره‌های کنترلی انگرال‌گیر	k_I
فاصله بین روتورها و مرکز جرم کوادراتور، m	l
جرم کوادراتور، kg	m
فاصله امن در نظر گرفته شده بین کوادراتور و موانع، m	SD
علائم یونانی	
ضریب اصطکاک آبرودینامیکی در جهت x دستگاه	γ_x
مختصات محلی، $\text{N} \cdot \text{s} / \text{m}$	
ضریب اصطکاک آبرودینامیکی در جهت y دستگاه	γ_y
مختصات محلی، $\text{N} \cdot \text{s} / \text{m}$	
ضریب اصطکاک آبرودینامیکی در جهت z دستگاه	γ_z
مختصات محلی، $\text{N} \cdot \text{s} / \text{m}$	
ضریب اصطکاک آبرودینامیکی در جهت زاویه‌ی رول کوادراتور، $\text{N} \cdot \text{s} / \text{rad}$	γ_ϕ
ضریب اصطکاک آبرودینامیکی در جهت زاویه‌ی پیچ کوادراتور، $\text{N} \cdot \text{s} / \text{rad}$	γ_θ
ضریب اصطکاک آبرودینامیکی در جهت زاویه‌ی یا و کوادراتور، $\text{N} \cdot \text{s} / \text{rad}$	γ_ψ

مراجع

- [1] R. Mebarki, V. Lippiello, B. Siciliano, Exploiting image moments for aerial manipulation control, in: ASME 2013 Dynamic Systems and Control Conference, American

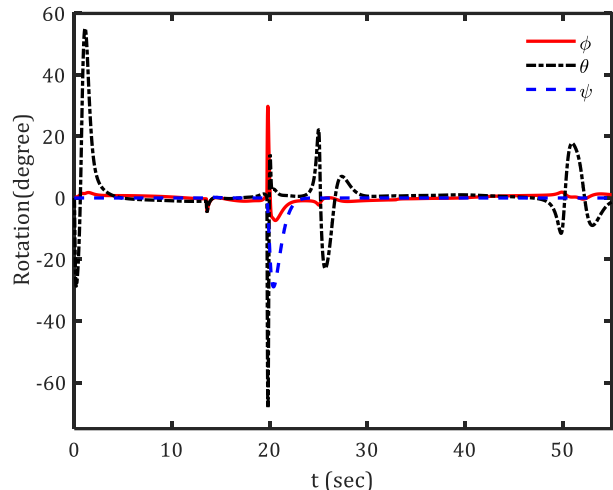


Fig. 12. The time-history of the quadrotor Euler angles in tracking paraboloid hyperbolic reference trajectory

شکل ۱۲: تغییرات زوایای اویلر کوادراتور نسبت به زمان در تعقیب مسیر زینی شکل

۶- نتیجه‌گیری و پیشنهادها

کوادراتورها، معروف‌ترین پرنده‌های هدایت‌پذیر هستند و با توجه به افزایش روز افزون تعداد آن‌ها، مساله‌ی کنترل در مسیرهای پیچیده و جلوگیری از برخورد آن‌ها با اجسام، به یکی از مهم‌ترین موضوعات در پژوهش‌ها تبدیل شده است. در این مقاله، با استفاده از استراتژی کنترلی ارائه‌شده بر مبنای توابع پتانسیل، کوادراتور بدون برخورد با موانع به سمت مسیرهای دلخواه و مقصد هدایت می‌شود. کنترلر به هنگام ورود کوادراتور به منطقه‌ی نالمن (در نزدیکی موانع)، واحد اجتناب از موانع را فعال کرده و این واحد، با استفاده از توابع پتانسیل، نیروی مجازی بازدارنده برای اجتناب از موانع را فراهم می‌آورد. ترکیب روش‌های کنترلی و انتخاب بهره‌های آن به نحوی صورت گرفت که سیستم بهترین عملکرد را از نظر خطای حالت ماندگار و پارامترهای حالت گذرای سیستم داشته باشد.

استراتژی کنترلی ارائه شده در مقاله می‌تواند برای دیگر مسائل کنترلی از جمله آرایش کوادراتورها و کوادراتورهای دارای بازوی مکانیکی استفاده شود. همچنین با توجه به ترکیبی بودن روش، دست طراح برای محاسبه‌ی بهترین ترکیب در محاسبه‌ی ورودی‌های کنترلی باز بوده و از این ویژگی می‌توان در طراحی کنترلر برای دیگر مکانیزم‌های صنعتی نیز استفاده کرد.

فهرست علائم

علائم انگلیسی

- International Journal of Control, Automation and Systems, 8(5) (2010) 957-966.
- [12] A. Al-Kaff, Á. Madridano, S. Campos, F. García, D. Martín, A. de la Escalera, Emergency Support Unmanned Aerial Vehicle for Forest Fire Surveillance, *Electronics*, 9(2) (2020) 260.
- [13] E. Guisado-Pintado, D.W. Jackson, D. Rogers, 3D mapping efficacy of a drone and terrestrial laser scanner over a temperate beach-dune zone, *Geomorphology*, 328 (2019) 157-172.
- [14] A. Cavoukian, Privacy and drones: Unmanned aerial vehicles, *Information and Privacy Commissioner of Ontario, Canada Ontario*, (2012).
- [15] P. Pounds, R. Mahony, P. Corke, Modelling and control of a large quadrotor robot, *Control Engineering Practice*, 18(7) (2010) 691-699.
- [16] A. Kushleyev, D. Mellinger, C. Powers, V. Kumar, Towards a swarm of agile micro quadrotors, *Autonomous Robots*, 35(4) (2013) 287-300.
- [17] A. Albers, S. Trautmann, T. Howard, T.A. Nguyen, M. Frietsch, C. Sauter, Semi-autonomous flying robot for physical interaction with environment, in: *Robotics Automation and Mechatronics (RAM), 2010 IEEE Conference on*, IEEE, 2010, pp. 441-446.
- [18] R.C. Sá, G.A. Barreto, A.L.C. de Araújo, A.T. Varela, Design and construction of a quadrotor-type unmanned aerial vehicle: Preliminary results, in: *Engineering Applications (WEA), 2012 Workshop on*, IEEE, 2012, pp. 1-6.
- [19] G.M. Hoffmann, H. Huang, S.L. Waslander, C.J. Tomlin, Precision flight control for a multi-vehicle quadrotor helicopter testbed, *Control engineering practice*, 19(9) (2011) 1023-1036.
- [20] B. Tian, L. Liu, H. Lu, Z. Zuo, Q. Zong, Y. Zhang, Multivariable finite time attitude control for quadrotor UAV: Theory and experimentation, *IEEE Transactions on Industrial Electronics*, 65(3) (2018) 2567-2577.
- [21] G.V. Raffo, M.G. Ortega, F.R. Rubio, An integral predictive/nonlinear H_∞ control structure for a quadrotor helicopter, *Automatica*, 46(1) (2010) 29-39.
- Society of Mechanical Engineers, 2013.
- [2] J. Nikolic, M. Burri, J. Rehder, S. Leutenegger, C. Huerzeler, R. Siegwart, A UAV system for inspection of industrial facilities, *IEEE Aerospace Conference*, (2013).
- [3] G. Caprari, A. Breitenmoser, W. Fischer, C. Hürzeler, F. Täche, R. Siegwart, O. Nguyen, R. Moser, P. Schoeneich, F. Mondada, Highly compact robots for inspection of power plants, *Journal of Field Robotics*, (2012) 47-68.
- [4] F. Rinaudo, F. Chiabrando, A. Lingua, A. Spano, Archaeological site monitoring: UAV photogrammetry can be an answer, *International Archives of the Photogrammetry, Remote Sensing, and Spatial Information Sciences*, 39(B5) (2012) 583-588.
- [5] H. Menouar, I. Guvenc, K. Akkaya, A.S. Uluagac, A. Kadri, A. Tuncer, UAV-enabled intelligent transportation systems for the smart city: Applications and challenges, *IEEE Communications Magazine*, 55(3) (2017) 22-28.
- [6] V. Lippiello, F. Ruggiero, Cartesian impedance control of a UAV with a robotic arm, *IFAC Proceedings Volumes*, 45(22) (2012) 704-709.
- [7] M. Fanni, A. Khalifa, A New 6-DOF Quadrotor Manipulation System: Design, Kinematics, Dynamics and Control, *IEEE/ASME Transactions on Mechatronics*, (2017).
- [8] F.A. Goodarzi, D. Lee, T. Lee, Geometric control of a quadrotor UAV transporting a payload connected via flexible cable, *International Journal of Control, Automation and Systems*, 13(6) (2015) 1486-1498.
- [9] D. Mellinger, Q. Lindsey, M. Shomin, V. Kumar, Design, modeling, estimation and control for aerial grasping and manipulation, in: *Intelligent Robots and Systems (IROS), 2011 IEEE/RSJ International Conference on*, IEEE, 2011, pp. 2668-2673.
- [10] P.E. Pounds, D.R. Bersak, A.M. Dollar, Grasping from the air: Hovering capture and load stability, in: *Robotics and Automation (ICRA), 2011 IEEE International Conference on*, IEEE, 2011, pp. 2491-2498.
- [11] J. Lee, I. Kammerer, V. Dobrokhotov, K. Jones, Autonomous feature following for visual surveillance using a small unmanned aerial vehicle with gimbaled camera system,

- quadrotor MAVs in presence of parameter uncertainties and external disturbances, *IEEE Transactions on Control Systems Technology*, 26(1) (2018) 248-254.
- [31] H.J. Kim, D.H. Shim, A flight control system for aerial robots: algorithms and experiments, *Control engineering practice*, 11(12) (2003) 1389-1400.
- [32] H. Voos, Nonlinear control of a quadrotor micro-UAV using feedback-linearization, in: *Mechatronics*, 2009. ICM 2009. IEEE International Conference on, IEEE, 2009, pp. 1-6.
- [33] H. Pang, X. Zhang, Z. Xu, Adaptive backstepping-based tracking control design for nonlinear active suspension system with parameter uncertainties and safety constraints, *ISA Transactions*, 88 (2019) 23-36.
- [34] A.K. Khalaji, H. Tourajizadeh, Nonlinear Lyapounov based control of an underwater vehicle in presence of uncertainties and obstacles, *Ocean Engineering*, 198 (2020) 106998.
- [35] O. Khatib, Real-time obstacle avoidance for manipulators and mobile robots, Springer, 1986.
- [36] B.K. Sahu, B. Subudhi, Potential function-based path-following control of an autonomous underwater vehicle in an obstacle-rich environment, *Transactions of the Institute of Measurement and Control*, 39(8) (2017) 1236-1252.
- [37] O. Mofid, S. Mobayen, Adaptive sliding mode control for finite-time stability of quad-rotor UAVs with parametric uncertainties, *ISA transactions*, 72 (2018) 1-14.
- [22] A. Ailon, S. Arogeti, Closed-form nonlinear tracking controllers for quadrotors with model and input generator uncertainties, *Automatica*, 54 (2015) 317-324.
- [23] E. Stigaru, F. Lewis, Design and implementation of a structured flight controller for a 6dof quadrotor using quaternions, in: *Control and Automation, 2009. MED'09. 17th Mediterranean Conference on*, IEEE, 2009, pp. 1233-1238.
- [24] R. Mahony, V. Kumar, P. Corke, Multirotor aerial vehicles, *IEEE Robotics and Automation magazine*, 20(32) (2012).
- [25] Y. Sun, Modeling, identification and control of a quadrotor drone using low-resolution sensing, (2012).
- [26] R.F. Afhami, Rasul Fesharakifard; Azam Khosravi, Mohammad, Updating LQR control for full dynamic of a quadrotor, Department of Electrical Engineering, (2017).
- [27] C. Liu, J. Pan, Y. Chang, PID and LQR trajectory tracking control for an unmanned quadrotor helicopter: Experimental studies, in: *2016 35th Chinese Control Conference (CCC)*, 2016, pp. 10845-10850.
- [28] M.-D. Hua, T. Hamel, P. Morin, C. Samson, Introduction to feedback control of underactuated VTOL vehicles: A review of basic control design ideas and principles, *IEEE Control Systems*, 33(1) (2013) 61-75.
- [29] P. Castillo, R. Lozano, A. Dzul, Stabilization of a mini rotorcraft with four rotors, *IEEE control systems*, 25(6) (2005) 45-55.
- [30] G. Antonelli, E. Cataldi, F. Arrichielo, P.R. Giordano, S. Chiaverini, A. Franchi, Adaptive trajectory tracking for

چگونه به این مقاله ارجاع دهیم

A. Keymasi Khalaji, I. Saadat, Tracking control of quadrotors in the presence of obstacles based on potential field method. *Amirkabir J. Mech Eng.*, 53(special issue 2) (2021) 1095-1110.

DOI: [10.22060/mej.2020.17223.6541](https://doi.org/10.22060/mej.2020.17223.6541)

